

СИНТЕЗ И СВОЙСТВА
НЕОРГАНИЧЕСКИХ СОЕДИНЕНИЙ

УДК 544.032,546.02

СИНТЕЗ И СВОЙСТВА СЛОЖНОГО ТАНТАЛАТА ЖЕЛЕЗА САМАРИЯ
СО СТРУКТУРОЙ ЭШИНИТА

© 2022 г. А. В. Егорышева^a, *, О. Г. Эллерт^a, Е. Ф. Попова^a,
Д. И. Кирдянкин^a, Р. Д. Светогоров^b, П. Е. Литвинова^{b, c}

^aИнститут общей и неорганической химии им. Н.С. Курнакова РАН, Ленинский пр-т, 31, Москва, 119991 Россия

^bНациональный исследовательский центр “Курчатовский институт”,
пл. Академика Курчатова, 1, Москва, 123182 Россия

^cМосковский государственный университет им. М.В. Ломоносова, Ленинские горы, 1, Москва, 119991 Россия

*e-mail: anna_egorysheva@rambler.ru

Поступила в редакцию 23.03.2022 г.

После доработки 06.04.2022 г.

Принята к публикации 07.04.2022 г.

Синтезировано неизвестное ранее соединение $\text{SmFe}_{0.5}\text{Ta}_{1.5}\text{O}_6$ и по данным дифракции синхротронного излучения методом Ритвельда рассчитана его структура. Показано, что $\text{SmFe}_{0.5}\text{Ta}_{1.5}\text{O}_6$ относится к структурному типу эшинита (пр. гр. $Pnma$), исследованы его магнитные свойства и установлено, что соединение $\text{SmFe}_{0.5}\text{Ta}_{1.5}\text{O}_6$ парамагнитно.

Ключевые слова: $\text{SmFe}_{0.5}\text{Ta}_{1.5}\text{O}_6$, магнитные свойства

DOI: 10.31857/S0044457X22100373

ВВЕДЕНИЕ

Минералы со структурой типа эшинита и эвксенита широко распространены в природе в составе обогащенного редкоземельными элементами (РЗЭ) гранитного пегматита [1]. Эшинит и эвксенит имеют общую формулу AB_2O_6 , где A – РЗЭ, Y, Th, U и Ca, а B – Ti, Nb и Ta. Оба минерала являются орторомбическими, но эшинит кристаллизуется в пр. гр. $Pnma$, тогда как эвксенит имеет структуру с пр. гр. $Pbcn$. При этом для соединений с A-катионом большего радиуса характерен структурный тип эшинита. В структурном типе эвксенита реализуются соединения с меньшим радиусом A- катиона.

Интерес к соединениям этих структурных типов изначально был связан с их высокой емкостью по отношению к различным крупным катионам, таким как редкоземельные элементы и актиниды [2]. Содержание РЗЭ и актинидов в природных эшините и эвксените составляет не менее 40 мас. % в зависимости от их химического состава. Поэтому соединения данных структурных типов были предложены в качестве матриц для захоронения высокорадиоактивных отходов [2].

Среди синтетических аналогов этих соединений на сегодняшний день наиболее изучены сложные титанаты РЗЭ и Y – LnTiMO_6 , где Ln – трехвалентный лантаноид или иттрий, а M – Nb или Ta [3, 4]. Ниобаты LnTiNbO_6 впервые были

синтезированы в 1962 г. [3], а tantalаты LnTiTaO_6 – в 1974 г. [4]. Многочисленные исследования структуры этих фаз показали [4], что морфотропный переход между эшинитом и эвксенитом лежит между Dy и Ho. Основное отличие структур состоит в том, что в эшините ион РЗЭ локализован в туннеле из сопряженных $(\text{Ti}/\text{M})\text{O}_6$ -октаэдров, а в эвксените он находится между двумя плотноупакованными слоями, сформированными из этих октаэдров. Данные соединения уже зарекомендовали себя как перспективные диэлектрические материалы [5–9] и люминофоры [10–13].

Другое известное семейство соединений – ряд RMWO_6 ($\text{M}^{3+} = \text{V}, \text{Cr}, \text{Fe}, \text{R}$ – лантаноид и Y), структура которого является производной от эшинита. Благодаря упорядочению ионов M^{3+} и W^{6+} эти соединения кристаллизуются в орторомбической сингонии в полярной пр. гр. $Pn2_1a$ [14]. Особый интерес представляют сложные вольфраматы железа RFeWO_6 , в которых наблюдаются изменения сегнетоэлектрической поляризации при температурах магнитного упорядочения, что позволяет отнести эти полярные магниты к классу мультиферроиков [15–18].

Таким образом, круг синтетических соединений со структурами эшинита и эвксенита весьма ограничен, несмотря на очевидно высокую изоморфную емкость данных структурных типов.

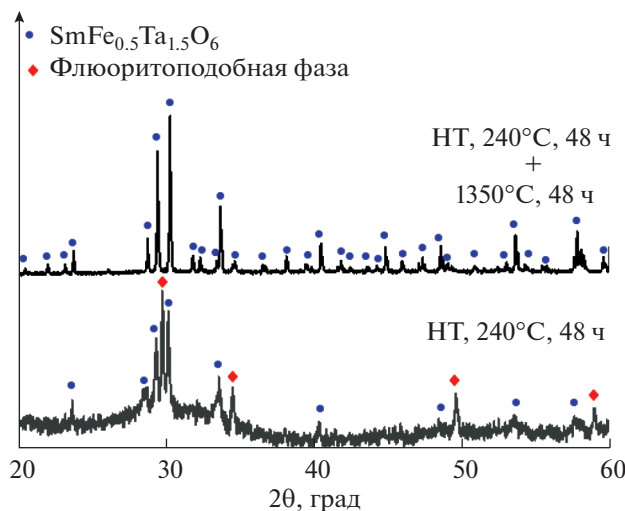


Рис. 1. Дифрактограммы образца после гидротермальной обработки (HT) и последующего отжига.

В настоящей работе синтезирована новая фаза $\text{SmFe}_{0.5}\text{Ta}_{1.5}\text{O}_6$ со структурой эшинита, уточнена ее структура и изучены магнитные свойства.

ЭКСПЕРИМЕНТАЛЬНАЯ ЧАСТЬ

Синтез. В качестве исходных веществ использовали следующие реагенты: $\text{Sm}(\text{NO}_3)_3 \cdot 6\text{H}_2\text{O}$ (чистотой не ниже 99.99%), $\text{Fe}(\text{NO}_3)_3 \cdot 9\text{H}_2\text{O}$ (ч.), TaCl_5 (х. ч.), NH_4OH (ос. ч.), $\text{C}_2\text{H}_5\text{OH}$ (х. ч.). Предварительно все твердые реагенты проверяли на соответствие заявленного состава методом гравиметрического анализа.

Синтез $\text{SmFe}_{0.5}\text{Ta}_{1.5}\text{O}_6$ проводили двумя способами. Первый способ, соответствующий ранее разработанной для $\text{Ln}_2\text{FeTaO}_7$ методике синтеза [19, 20], основан на методе обратного соосаждения аммиаком из спиртовых растворов нитратов самария, железа(III) и хлорида tantalа с последующим высокотемпературным отжигом. Однако данный метод не позволяет получить чистый образец. Во всех синтезированных образцах независимо от температуры и продолжительности синтеза присутствовала примесь SmTa_3O_9 . Поэтому была разработана новая методика синтеза $\text{SmFe}_{0.5}\text{Ta}_{1.5}\text{O}_6$ с предварительной обработкой прекурсоров в гидротермальных условиях.

Навески нитратов, взятые в стехиометрическом отношении из расчета на 0.1 г конечного продукта, растворяли в 2 мл этанола и смешивали с 2 мл раствора $\text{TaCl}_{5(\text{EtOH})}$ ($C_{\text{Ta}_2\text{O}_5} = 63.57 \text{ г/л}$). Далее спиртовой раствор солей осаждали концентрированным раствором аммиака (25%, 8 мл). Полученную суспензию вымешивали в течение 30 мин на магнитной мешалке, после чего переносили в стальной автоклав с тефлоновым вкла-

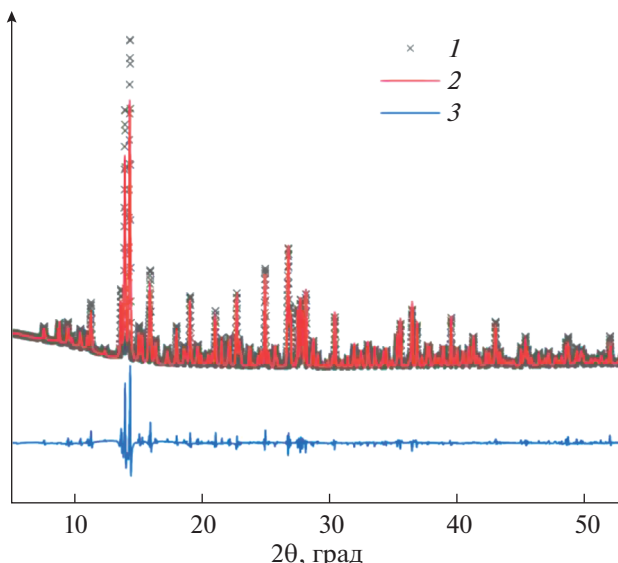


Рис. 2. Экспериментальная и теоретическая дифрактограммы $\text{SmFe}_{0.5}\text{Ta}_{1.5}\text{O}_6$: 1 – эксперимент, 2 – расчет, 3 – разностная кривая.

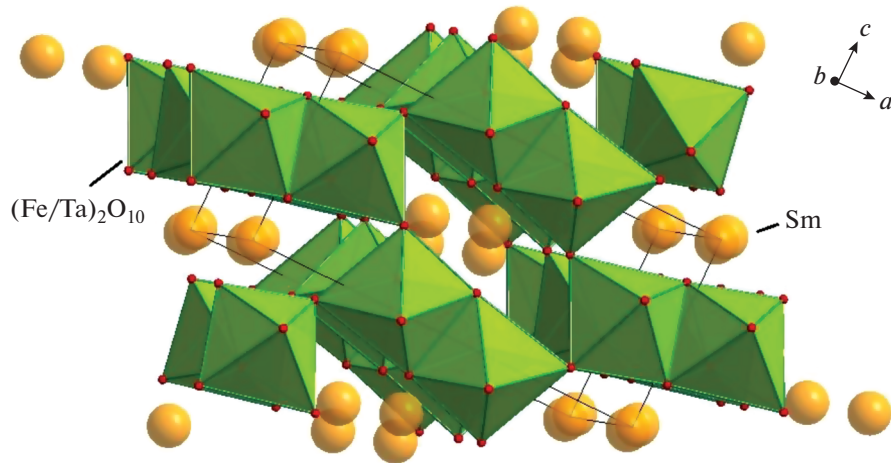
дышем ($V = 20 \text{ мл}$) и выдерживали при 240°C в течение 48 ч. После гидротермальной обработки осадок центрифугировали, многократно промывали дистиллированной водой до достижения нейтрального pH и сушили 24 ч при 50°C.

Рентгенофазовый анализ полученного порошка показал наряду с целевой фазой $\text{SmFe}_{0.5}\text{Ta}_{1.5}\text{O}_6$ наличие флюоритоподобной примеси, поэтому порошок дополнительно отжигали в алундовом тигле при 1350°C в течение 48 ч (рис. 1). По окончании синтеза образец имел оранжевый цвет.

Исследование свойств. Определение фазового состава образцов осуществляли методом РФА с помощью рентгеновского дифрактометра Bruker D8 Advance (CuK_α -излучение, Ni-фильтр, LynxEye детектор). Регистрацию проводили в диапазоне углов 2θ от 20° до 60° с шагом 0.02° и временем накопления 0.4 с/шаг.

Структурный анализ проводили методом Ритвельда на основе данных порошковой рентгеновской дифракции на станции РСА Курчатовского источника синхротронного излучения, оснащенной двумерным CCD-детектором Rayonix SX165. Данные регистрировали в диапазоне углов 2θ от 5° до 53° на длине волны $\lambda = 0.74 \text{ \AA}$ при комнатной температуре в геометрии пропускания. Подробное описание условий регистрации и расчета приведено в работе [21].

Магнитные свойства $\text{SmFe}_{0.5}\text{Ta}_{1.5}\text{O}_6$ исследовали на автоматизированном комплексе PPMS-9 фирмы Quantum Design для изучения физических свойств материалов с опцией измерения AC- и DC-намагниченности с внешним магнитным по-

Рис. 3. Структура $\text{SmFe}_{0.5}\text{Ta}_{1.5}\text{O}_6$.**Таблица 1.** Структурные параметры $\text{SmFe}_{0.5}\text{Ta}_{1.5}\text{O}_6$, рассчитанные по данным дифракции рентгеновского синхротронного излучения

Параметр	Значение
Брутто-формула	$\text{Sm}_{0.95}\text{Fe}_{0.56}\text{Ta}_{1.44}\text{O}_6$
Сингония	Орторомбическая
Пр. гр.	<i>Pnma</i>
<i>a</i> , Å	11.1011(2)
<i>b</i> , Å	7.50482(17)
<i>c</i> , Å	5.32986(12)
<i>V</i> , Å ³	593.63(3)
<i>Z</i>	4
$\rho_{\text{расч}}$, г/см ³	7.2272
μ , мм ⁻¹	45.09
GOOF	2.27
<i>wR</i> ₂	0.0430
<i>R</i> _p	0.0464
<i>R</i> _{wp}	0.0757

лем до 5 Т в интервале температур 2.3–300 К. Измерения в магнитном поле $H = 100$ Э проводили в режимах охлаждения (FC) и в нулевом поле (ZFC).

РЕЗУЛЬТАТЫ И ОБСУЖДЕНИЕ

Методом Ритвельда рассчитана структура $\text{SmFe}_{0.5}\text{Ta}_{1.5}\text{O}_6$ и подтверждено ее отнесение к орторомбической пр. гр. *Pnma* (рис. 2). Структурные параметры $\text{SmFe}_{0.5}\text{Ta}_{1.5}\text{O}_6$, рассчитанные по данным дифракции рентгеновского синхротронного излучения, а также координаты атомов приведены в табл. 1 и 2.

Трехмерный каркас структуры $\text{SmFe}_{0.5}\text{Ta}_{1.5}\text{O}_6$ образован димерами $(\text{Fe/Ta})_2\text{O}_{10}$, состоящими из соединенных по ребру искаженных октаэдров $(\text{Fe/Ta})\text{O}_6$ (рис. 3). Сопряженные по вершинам $(\text{Fe/Ta})_2\text{O}_{10}$ -группы образуют бесконечную сеть в плоскости *ac*. Причем два различных $(\text{Fe/Ta})_2\text{O}_{10}$ -димера имеют только одну общую вершину. В направлении оси *b* димеры $(\text{Fe/Ta})_2\text{O}_{10}$ расположе-

Таблица 2. Координаты атомов $\text{SmFe}_{0.5}\text{Ta}_{1.5}\text{O}_6$

Атом	<i>x/a</i>	<i>y/b</i>	<i>z/c</i>	Occ.	<i>U</i> _{iso}
Sm(1)	0.04377(18)	0.25	0.0434(5)	0.95(2)	0.0003(7)
Ta(1)	0.35707(12)	0.0063(2)	0.0430(2)	0.72(3)	0.0019(5)
Fe(1)	0.35707(12)	0.0063(2)	0.0430(2)	0.28(3)	0.0019(5)
O(1)	0.382(2)	0.25	0.163(4)	1	0
O(2)	0.138(2)	0.25	0.447(5)	1	0.008(6)
O(3)	0.2982(14)	0.565(2)	0.380(3)	1	0.009(7)
O(4)	0.0252(14)	0.538(2)	0.255(3)	1	0

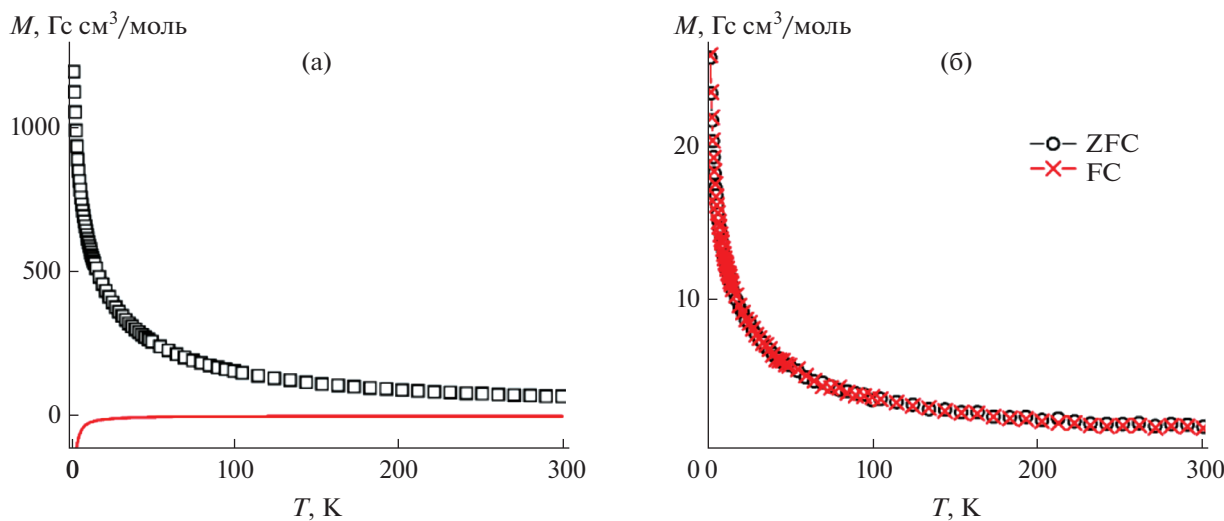


Рис. 4. Температурная зависимость намагниченности $M(T)$ в поле 5000 Э. Внизу приведена дифференциальная кривая (а). Намагниченность $M(T)$, измеренная в режиме ZFC-FC в слабом магнитном поле 100 Э (б).

ны один под другим и соединяются через две общие вершины. При этом в направлении оси b формируются тунNELы, в которых занимают позиции катионы Sm^{3+} .

Температурные зависимости намагниченности $M(T)$ в сильном магнитном поле $H = 5000$ Э для $\text{SmFe}_{0.5}\text{Ta}_{1.5}\text{O}_6$ представлены на рис. 4. На кривых отсутствуют какие-либо особенности во всем изученном интервале температур, что характерно для парамагнетиков. Измерения в переменном поле для $\text{SmFe}_{0.5}\text{Ta}_{1.5}\text{O}_6$ также не выявили никаких переходов (рис. 5).

Магнитные параметры $\text{SmFe}_{0.5}\text{Ta}_{1.5}\text{O}_6$ рассчитывали по температурной зависимости обратной магнитной восприимчивости $\chi^{-1}(T)$ (рис. 6). Поскольку для редкоземельного иона Sm^{3+} ($4f$, $\mu = 0.84 \mu_B$) характерны большие значения температурно-независимого парамагнетизма χ_0 [22], расчеты осуществляли в рамках модифицированного закона Кюри–Вейса: $\chi = C/(T - \Theta) + \chi_0$, где C – константа Кюри, Θ – температура Вейса, χ_0 – температурно-независимый парамагнетизм. Результаты приближения приведены в табл. 3. Температура Вейса $\Theta = -14$ К для $\text{SmFe}_{0.5}\text{Ta}_{1.5}\text{O}_6$ мала и отрицательна, это свидетельствует о возможном

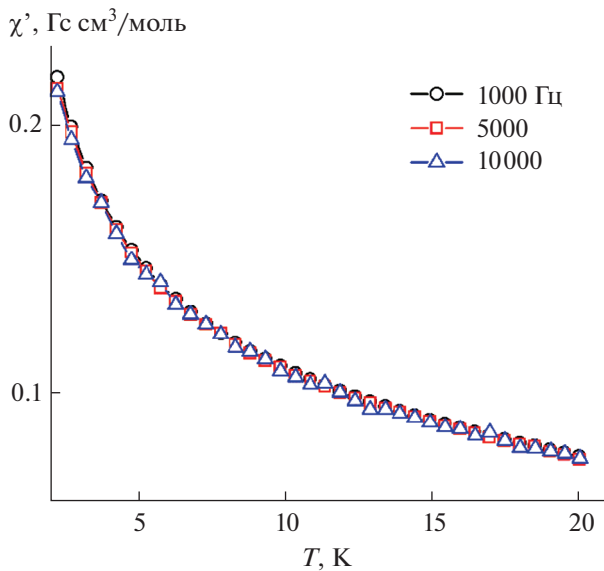


Рис. 5. Действительная часть магнитной восприимчивости $\text{SmFe}_{0.5}\text{Ta}_{1.5}\text{O}_6$.

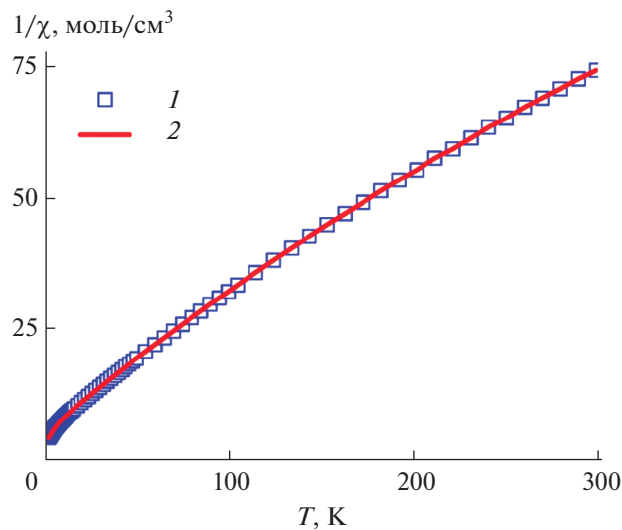


Рис. 6. Температурная зависимость обратной восприимчивости $\chi^{-1}(T)$: 1 – эксперимент, 2 – расчет.

Таблица 3. Теоретические и расчетные магнитные моменты ($\mu_{\text{теор}}$, $\mu_{\text{эф}}$), температура Вейса (Θ), температурно-независимый парамагнетизм (χ_0) для $\text{SmFe}_{0.5}\text{Ta}_{1.5}\text{O}_6$

Параметр	Θ , К	$\mu_{\text{теор}}/\mu_{\text{B}}$	$\mu_{\text{эф}}/\mu_{\text{B}}$	χ_0 , $\text{см}^3/\text{моль}$
$\text{SmFe}_{0.5}\text{Ta}_{1.5}\text{O}_6$	-14.7(2)	6.03	5.03(1)	0.00344(8)

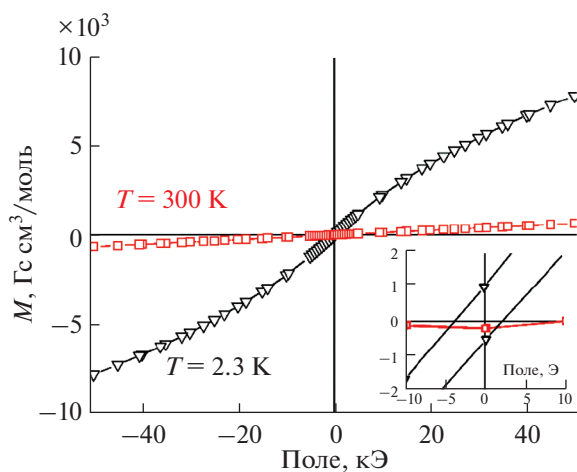


Рис. 7. Полевая зависимость намагниченности $M(H)$ для $\text{SmFe}_{0.5}\text{Ta}_{1.5}\text{O}_6$ при $T=300$ и 2.3 К. На вставке показана $M(H)$ в малых полях.

присутствии небольшого количества антиферромагнитно взаимодействующих ионов в образце. Величина эффективного магнитного момента $\mu_{\text{эф}} = 5.03 \mu_{\text{B}}$ немного занижена по сравнению с теоретическим значением $\mu_{\text{теор}} = [2(\mu_{\text{Sm}})^2 + (\mu_{\text{Fe}})^2]^{1/2} = 6.03 \mu_{\text{B}}$ для этого сложного оксида. Значительная величина $\chi_0 = 0.00344 \text{ см}^3/\text{моль}$ свидетельствует о его существенном вкладе в общую намагниченность.

Полевые зависимости $M(H)$ при $T=300$ и 2.3 К также являются типичными для парамагнетиков. На зависимости $M(H)$ при температуре 2.3 К наблюдается большая намагниченность без насыщения моментов (рис. 7) и гистерезис с коэрцитивной силой ~ 4 Э. Эти данные подтверждают отсутствие дальнего магнитного порядка в $\text{SmFe}_{0.5}\text{Ta}_{1.5}\text{O}_6$.

ЗАКЛЮЧЕНИЕ

Разработана методика синтеза нового соединения — $\text{SmFe}_{0.5}\text{Ta}_{1.5}\text{O}_6$, относящегося к структурному типу эшинита. Рассчитана его структура и изучены магнитные свойства. Синтез данного соединения расширяет узкий круг известных синтетических фаз со структурой эшинита и показывает перспективность получения новых соединений путем гетеровалентного замещения.

Структурные данные $\text{SmFe}_{0.5}\text{Ta}_{1.5}\text{O}_6$ депонированы в Кембриджском банке структурных дан-

ных (CCDC № 2174416). Их можно получить по адресу deposit@ccdc.cam.ac.uk или <https://www.ccdc.cam.ac.uk/structures/>.

ФИНАНСИРОВАНИЕ РАБОТЫ

Исследования выполнены при финансовой поддержке РНФ (грант № 22-23-00365) с использованием оборудования ЦКП ФМИ ИОНХ РАН.

КОНФЛИКТ ИНТЕРЕСОВ

Авторы заявляют, что у них нет известных конкурирующих финансовых интересов или личных отношений, которые могли бы повлиять на работу, описанную в этой статье.

СПИСОК ЛИТЕРАТУРЫ

1. Ercit T.S. // Can. Mineral. 2005. V. 43. P. 1291. <https://doi.org/10.2113/gscanmin.43.4.1291>
2. Gong W.L., Ewing R.C., Wang L. et al. // MRS Proceed. 1995. V. 412. P. 377. <https://doi.org/10.1557/PROC-412-377>
3. Котков А.И., Белопольский М.П., Чернорук С.Г. и др. // Докл. АН СССР. 1962. Т. 147. С. 687.
4. Thorogood G.J., Avdeev M., Kennedy B.J. // Solid State Sci. 2010. V. 12. P. 1263. <https://doi.org/10.1016/j.solidstatesciences.2010.02.036>
5. Sebastian M.T., Ratheesh R., Sreemoolanathan H. et al. // Mater. Res. Bull. 1997. V. 32. P. 1279. [https://doi.org/10.1016/S0025-5408\(97\)00095-0](https://doi.org/10.1016/S0025-5408(97)00095-0)
6. Lei Y., Reaney I.M., Liu Y.C. et al. // Adv. Mater. Res. 2011. V. 197–198. P. 285. <https://doi.org/10.4028/www.scientific.net/AMR.197-198.285>
7. Zhang J., Zuo R. // J. Am. Ceram. Soc. 2017. V. 100. P. 5249. <https://doi.org/10.1111/jace.15077>
8. John F., Solomon S. // Phys. Lett. A. 2020. V. 384. P. 126731. <https://doi.org/10.1016/j.physleta.2020.126731>
9. John F., Solomon S. // J. Aust. Ceram. Soc. 2022. V. 58. P. 29. <https://doi.org/10.1007/s41779-021-00664-4>
10. Hirano M., Iwata T., Komaki K. et al. // J. Ceram. Soc. Jpn. 2020. V. 128. P. 875. <https://doi.org/10.2109/jcersj2.20124>
11. Ma Q., Zhang A., Lu M. et al. // J. Phys. Chem. B. 2007. V. 111. P. 12693. <https://doi.org/10.1021/jp0739162>

12. Hirano M., Sakurai M., Makino H. // J. Ceram. Soc. Jpn. 2020. V. 129. P. 432.
<https://doi.org/10.2109/jcersj2.21036>
13. Su L., Fan X., Liu Y. et al. // Opt. Mater. 2019. V. 98. P. 109403.
<https://doi.org/10.1016/j.optmat.2019.109403>
14. Salmon R., Baudry H., Grannec J. et al. // Rev. Chim. Miner. 1974. V. 11. P. 71.
15. Jahnberg L. // Acta Chem. Scand. 1963. V. 17. P. 2548.
<https://doi.org/10.3891/acta.chem.scand.17-2548>
16. Ghara S., Suard E., Fauth F. et al. // Phys. Rev. B. 2017. V. 95. P. 224416.
<https://doi.org/10.1103/PhysRevB.95.224416>
17. Yanda P., Mishra S., Sundaresan A. // Phys. Rev. Mater. 2021. V. 5. P. 074406.
<https://doi.org/10.1103/PhysRevMaterials.5.074406>
18. Dhital C., Dally R.L., Pham D. et al. // J. Magn. Magn. Mater. 2022. V. 544. P. 168725.
<https://doi.org/10.1016/j.jmmm.2021.168725>
19. Egorysheva A.V., Popova E.F., Tyurin A.V. et al. // Russ. J. Inorg. Chem. 2019. V. 64. P. 1342.
<https://doi.org/10.1134/S0036023619110056>
20. Egorysheva A.V., Popova E.F., Tyurin A.V. et al. // Russ. J. Inorg. Chem. 2021. V. 66. № 11. P. 1649.
<https://doi.org/10.1134/S003602362111005X>
21. Ellert O.G., Egorysheva A.V., Golodukhina S.V. et al. // Russ. Chem. Bull. 2021. V. 70. P. 2397.
<https://doi.org/10.1007/s11172-021-3359-0>
22. Egorysheva A.V., Ellert O.G., Popova E.F. et al. // J. Chem. Thermodyn. 2021. V. 161. P. 106565.
<https://doi.org/10.1016/j.jct.2021.106565>